

(12) はり降伏型立体骨組の剛塑性崩壊荷重

大阪大学工学部建築工学科 教授 工博 五十嵐定義 同 助手 ○井上 一朗

同 大学院生 平原 章次 同 大学院生 多田 元英

骨組の剛塑性崩壊荷重の算定に際して、次の仮定を設ける。

§1. 序

立体骨組に対する極限解析の問題は、Heymanによって初めて扱われ、曲げモーメントとトルクのInteractionを考慮した上界定理に基づく方法が示された[1]。

一方、建築架構を対象とした立体骨組の極限解析に関する研究は、初め横尾、山肩らによって行われた[2]。横尾らは、Heymanの解法を応用した上界定理に基づく方法更には、下界定理に基づく方法及び実用解法としての略算法を示し、偏心水平力を受ける立体骨組の崩壊荷重について考察している。また、藤田らも、Heymanの解法を用いて引張りブレースが配置された場合の解を求めてい[3]。

立体骨組の崩壊荷重は、柱が塑性化する場合の降伏関数の非線形性のために、極めて単純な骨組を除いてその解を得ることが困難で、弾塑性数値解析問題[4]、あるいは数理計画法の問題[5]として扱われることが多い。これに対し、本論文は、柱、はり及びブレースで構成される立体骨組において、はりとブレースのみが塑性化する場合には、偏心水平力に対する真の崩壊機構及びそれに対応する剛塑性崩壊荷重が、上界定理を用いて容易に得られることを示している。また、崩壊荷重に及ぼす水平力の偏心の影響を明らかにし、二、三の解析例によて柱が塑性化する場合の崩壊荷重や崩壊機構と比較検討してい[3]。

§2. 仮定

対象架構はFig.1-1に示すように、直交2方向に並列する平面架構群で構成される立体骨組である。このような

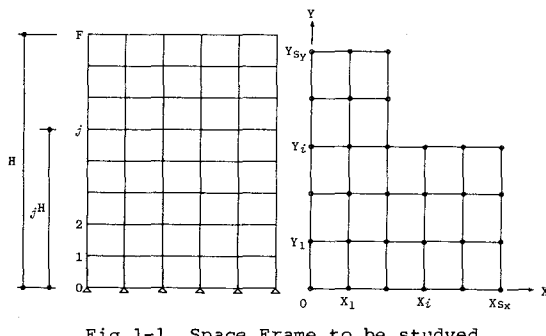


Fig. 1-1 Space Frame to be studied

(1) 材料特性は完全剛塑性である。

(2) 床版は面内剛である。

(3) 個材の接れ抵抗を無視する。

(4) 塑性化は、はりとブレースにのみ生じる。

(5) 各層の水平力は重心に作用する。

仮定(2)、(3)より、はりでは強軸回りの曲げのみを考慮すればよい。

§3. 外力仕事

外力系を一定鉛直力、及び漸増比例水平力とし、崩壊機構をFig.3-1のように想定する。ここで $R(X_R, Y_R)$ は回転中心であり、 F_{th} Floor (最上層屋根位置、Fig. 3-1 参照) の回転角速度を ϕ とすれば、 j th Floor の回転角速度 $j\phi$ は、

$$j\phi = \frac{j^H}{H}\phi \quad (3-1)$$

但し、 $j^H = \sum_{i=1}^j i^h$, $H = \sum_{i=1}^F i^h$ i^h : i 層階高

従って、 j 層の重心 $jG(jX_G, jY_G)$ の変位速度は、Fig. 3-2 を参照して、次式で与えられる。

$$j\delta_X = (Y_R - jY_G) \frac{j^H}{H}\phi , \quad j\delta_Y = -(X_R - jX_G) \frac{j^H}{H}\phi \quad (3-2)$$

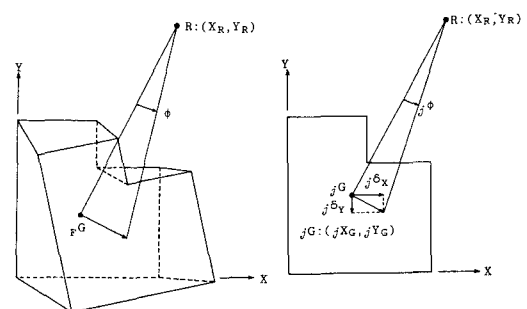


Fig. 3-1

Rate of Displacement
Collapse Mechanism
at j th Floor Level

Fig. 3-3に示すように、 j 層に働く水平力の作用方向を、 X 軸から角度 $j\phi$ の方向とすれば、 j 層の水平力 jP のなす仕事速度 jE は次式で与えられる。

$$\begin{aligned} j^P E_0 &= j^P X \cdot j^P \delta_X + j^P Y \cdot j^P \delta_Y \\ &= \{(Y_R - jY_G) \cos j\alpha - (X_R - jX_G) \sin j\alpha\} j^P \frac{j^H}{H} \phi \quad (3-3) \end{aligned}$$

従って、全水平力のなす仕事速度は次式で表せる。

$$E_0 = \sum_{j=1}^F j^P E_0$$

$$= \lambda \phi \sum_{j=1}^F \{(Y_R - jY_G) \cos j\alpha - (X_R - jX_G) \sin j\alpha\} j^P \frac{j^H}{H} \phi \quad (3-4)$$

但し、 $j^P = \lambda \cdot j^P_0$

であり、 $\{j^P_0\}$ は、各層の水平力分布を表す。

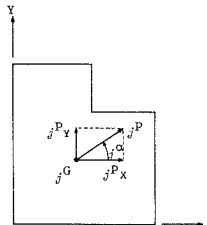


Fig. 3-3 Horizontal Force at j th Floor Level

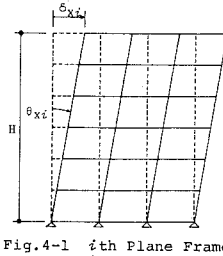


Fig. 4-1 i th Plane Frame in X-Direction

§4. 内力仕事

i 番目のX方向構面(Y座標: Y_i , Fig.4-1参照)の頂部の変位速度を $\dot{\theta}_{xi}$ とすれば、Fig.3-1に示す崩壊機構に対して次式が得られる。

$$\dot{\theta}_{xi} = (Y_R - Y_i)\phi \quad (4-1)$$

従って、この構面の回転角速度 $\dot{\theta}_{xi}$ (Fig.4-1参照)は、

$$\dot{\theta}_{xi} = \frac{1}{H} \dot{\theta}_{xi} = \frac{1}{H} (Y_R - Y_i) \phi \quad (4-2)$$

同様に、 i 番目のY方向構面(X座標: X_i)の回転角速度 $\dot{\theta}_{yi}$ は次式で与えられる。

$$\dot{\theta}_{yi} = -\frac{1}{H} (X_R - X_i) \phi \quad (4-3)$$

ここで、次の量を定義する。

$j^M_{Xi}^G (j^M_{Yi}^G)$: i 番目のX(Y)方向構面が、崩壊機構を構成した後の j 層はり端モーメント

$j^M_{Xi}^B (j^M_{Yi}^B)$: i 番目のX(Y)方向構面が、崩壊機構を構成した後の j 層ラースが負担する層モーメント

但し、 jM_{Xi}^G は、 j 層スパンばかりの塑性モーメントを jB_k とし、 j の中間荷重として中央集中荷重 V_k を想定すれば、 k をスパンのスパン長として、次式で与えられる。

$$j^M_{Xi}^G = \sum_{k \neq q} 2jB_k + \sum_{k=q} (4jB_k - \frac{V_k l_k}{2}) \quad (4-4)$$

即ち、Fig.4-2に示すように、

スパン j において、風下側はり端とスパン中央にヒンジが生じ、その他のスパンでは、はり両端にヒンジが生じる。スパン j では、次

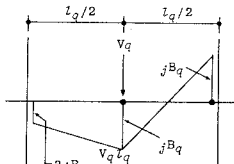


Fig. 4-2

式が成立している。

$$jB_q < \frac{V_q l_j}{4} \quad (4-5)$$

勿論、任意分布の中間荷重に対して、(4-4)及び(4-5)式に対応する式は容易に導かれる。

また、 jM_{Xi}^B は、 j 層スパンにおけるブレースの層せん断耐力を jQ_{xi}^B とすれば、次式で与えられる。

$$j^M_{Xi}^B = \sum_k jQ_{xi}^B \cdot jh \quad (4-6)$$

引張りブレースのみ有効な場合には、 jA_{xi}^B を j 層スパンのブレース断面積として、次のように表せる。

$$jQ_{xi}^B = \frac{1}{\sqrt{1 + j^t k^2}} \cdot j^A_{xi}^B \cdot \sigma_y, \quad j^t k = \frac{j^h}{l_k} \quad (4-7)$$

以上より、 i 番目のX方向構面の全内力仕事速度から、はり中間の鉛直荷重のなす仕事速度を差し引いた内力仕事速度 E_{xi} は次式で与えられる。

$$\begin{aligned} E_{xi} &= (\sum_{j=0}^F j^M_{Xi}^G + \sum_{j=1}^F j^M_{Xi}^B) |\dot{\theta}_{xi}| \\ &= (G^M_{Xi}^{OVT} + B^M_{Xi}^{OVT}) |Y_R - Y_i| \frac{|\phi|}{H} \quad (4-8) \end{aligned}$$

同様に、 i 番目のY方向構面に対して次式が得られる。

$$E_{yi} = (G^M_{Yi}^{OVT} + B^M_{Yi}^{OVT}) |X_R - X_i| \frac{|\phi|}{H} \quad (4-9)$$

但し、(4-8)、(4-9)式において、

$$\begin{aligned} G^M_{Xi}^{OVT} &= \sum_{j=0}^F j^M_{Xi}^G, \quad B^M_{Xi}^{OVT} = \sum_{j=1}^F j^M_{Xi}^B \\ G^M_{Yi}^{OVT} &= \sum_{j=0}^F j^M_{Yi}^G, \quad B^M_{Yi}^{OVT} = \sum_{j=1}^F j^M_{Yi}^B \end{aligned} \quad (4-10)$$

(4-8)式及び(4-9)式より、Fig.3-1に示す崩壊機構に対する立体架構の全内力仕事速度から引いた中間鉛直荷重のなす仕事速度を引いた内力仕事速度 E_i は、次式で与えられる。

$$E_i = \sum_{i=0}^{S_x} E_{Yi} + \sum_{i=0}^{S_y} E_{Xi}$$

$$= \left(\sum_{i=0}^{S_x} M_{Yi}^{OVT} |X_R - X_i| + \sum_{i=0}^{S_y} M_{Xi}^{OVT} |Y_R - Y_i| \right) \frac{H}{H} \quad (4-11)$$

$$\text{但し}, M_{Yi}^{OVT} = G M_{Yi}^{OVT} + B M_{Yi}^{OVT}, M_{Xi}^{OVT} = G M_{Xi}^{OVT} + B M_{Xi}^{OVT} \quad (4-12)$$

§5. 崩壊荷重

Fig. 3-11に示す崩壊機構に対する崩壊荷重係数入は、各平面構面のはりの両端に塑性ヒンジが形成されるFig. 5-1のような仮想変位機構を用いれば、(3-14)式と(4-11)式を等置することにより、次式で与えられる。

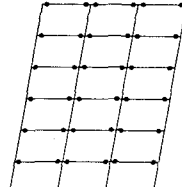


Fig. 5-1
Virtual Mechanism

$$\lambda = \frac{\sum_{i=0}^{S_y} M_{Xi}^{OVT} |Y_R - Y_i| + \sum_{i=0}^{S_x} M_{Yi}^{OVT} |X_R - X_i|}{\sum_{j=1}^F \{(Y_R - jY_G) \cos_j \alpha - (X_R - jX_G) \sin_j \alpha\} j P_0 \cdot j^H} \quad (5-1)$$

(5-1)式から得られる入を最小化する回転中心(X_R, Y_R)が真の崩壊荷重係数 λ を与える。即ち、

$$\lambda_C \leq \lambda \quad (5-2)$$

であり、問題は(5-1)式の入の値を最小化する(X_R, Y_R)を求める問題に帰着する。

(5-1)式は、 a_i, b_i, d, e, f を定数として、一般に次式で表せる。

$$\lambda = \frac{\sum_i a_i |X_R - X_i| + \sum_i b_i |Y_R - Y_i|}{|dX_R + eY_R + f|} \quad (5-3)$$

上式は、 $X_i \leq X_R \leq X_{i+1}, Y_i \leq Y_R \leq Y_{i+1}$ のとき、絶対値記号をはずして、次式で表される。

$$\pm \lambda = \frac{a^* X_R + b^* Y_R + c^*}{dX_R + eY_R + f} \quad (5-4)$$

$$\pm \frac{\partial \lambda}{\partial X_R} = \frac{(a^* e - b^* d) Y_R + (a^* f - c^* d)}{(dX_R + eY_R + f)^2} \quad (5-5)$$

$\frac{\partial \lambda}{\partial X_R}$ は、 $X_i \leq X_R \leq X_{i+1}$ の任意の X_R に対して、常に正、負又は0の何れかであり、従って、入は $X_i \leq X_R \leq X_{i+1}$ の X_R に関して単調増加、単調減少あるいは一定となる。また、 Y_R に関して同様であるから、上記の X_R 及び Y_R の各区間ににおける入の最小値は、次の4つの値のうちの最小値である。

$$\lambda|_{X_R=X_i; Y_R=Y_j}, \lambda|_{X_R=X_{i+1}; Y_R=Y_j} \quad (5-6)$$

$$\lambda|_{X_R=X_i; Y_R=Y_{j+1}}, \lambda|_{X_R=X_{i+1}; Y_R=Y_{j+1}}$$

従って、はり降伏型立体架構の真の崩壊荷重係数は、崩壊機構の回転中心の座標(X_R, Y_R)を次のように設定して(5-1)式から得られる荷重係数の最小値である。

$$(X_R, Y_R) = (\pm\infty, \bar{Y})$$

$$(X_R, Y_R) = (\bar{X}, \pm\infty) \quad (5-7)$$

$$(X_R, Y_R) = (X_i, Y_j)$$

ここで、 \bar{X}, \bar{Y} は任意の有限値、 (X_i, Y_j) は、X方向n番目、Y方向m番目の柱の座標である。なお、 $(X_R, Y_R) = (\pm\infty, \pm\infty)$ の場合を考慮する必要はない。何故なら、この場合、 $Y_R/X_R = t$ ($0 < t < \infty$)とすれば、入は(5-4)式より次式で表される。

$$\lambda = \frac{a^* + b^* t}{d + et} \quad (0 \leq t \leq \infty) \quad (5-8)$$

$$\text{従って}, \frac{d\lambda}{dt} = \frac{b^* d - a^* e}{(d + et)^2}$$

$d\lambda/dt$ は任意のtに対して正、負あるいは0の何れかである。 $d\lambda/dt = 0$ のとき、入は任意のtに対して一定となるから、結局t=0もしくはt= ∞ のときのみを考慮すればよい。

従って、はりとプレースにのみ塑性化が生じる立体架構の真の崩壊荷重係数は、X, Y各方向並進崩壊機構、及び各柱脚位置を回転中心とする揺れ崩壊機構に対しても(5-1)式から得られる崩壊荷重係数の最小値であり、吟味すべき崩壊機構の数は、骨組の層数に拘らず、(柱の数+2)である。

§6. 解析例

(1) 例題1

Fig. 6-1に示す形状寸法のはり降伏型立体架構の崩壊荷重係数を、次の諸条件の下に求める。

$$\bullet \text{重心} : (1X_G, 1Y_G) = (2X_G, 2Y_G) = (l, l)$$

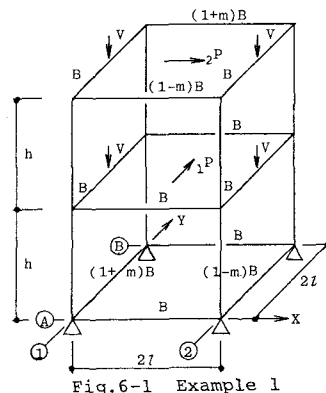


Fig. 6-1 Example 1

・水平力分布: $\{P_1, P_2\} = \lambda \{P_0, P_0\}$, $P_0 = 6B/h$

・水平力方向: $\{\alpha_1, \alpha_2\} = \{\pi/2, 0\}$

・鉛直力: $V = 3B/l$

各辺の塑性モーメントは、Fig. 6-1中に示しており、ここで、 $0 \leq m \leq 1$ とする。このとき、横尾によつて定義される骨組の耐力中心位置(x_R, y_R)は、次のようになる。

$$x_R = (1 - \frac{m}{3})l, \quad y_R = (1 + \frac{m}{3})l$$

従つて、この骨組の偏心量は、X, Y方向共に $ml/3$ である。

さて、(5-1)式を適用するに当り、X, Y各方向構面に崩壊機構が構成されたときのはり端モーメント和を求める。

先ず、X方向の①, ④構面では、

$$M_{XA}^{OVT} = 4B + 2(1-m)B = 2(3-m)B$$

$$M_{XB}^{OVT} = 4B + 2(1+m)B = 2(3+m)B$$

Y方向の①, ④構面では、Fig. 4-2に示すように、風下側はり端と/or 中央に塑性ヒンジが形成されることに注意して、

$$M_{YA}^{OVT} = 2B + 2(1+m)B = 2(2+m)B$$

$$M_{YB}^{OVT} = 2B + 2(1-m)B = 2(2-m)B$$

Table 6-1

x_R	y_R	λ
—	$\pm\infty$	1
$\pm\infty$	—	$\frac{4}{3}$
0	0	$\frac{10}{3}$
0	2	$\frac{1}{9}(10 - 4m)$
2	0	$\frac{1}{9}(10 + 4m)$
2	2	$\frac{10}{3}$

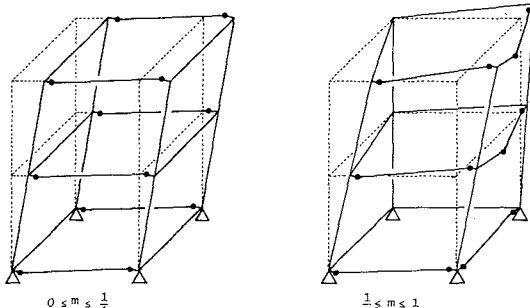


Fig. 6-2 Collapse Mechanism of Example 1

(5-1)式より、崩壊荷重係数入は、

$$x_R = \frac{X_R}{l}, \quad y_R = \frac{Y_R}{l}$$

として、次式で与えられる。

$$\lambda = \frac{(3-m)|y_R| + (3+m)|y_R-2| + (2+m)|x_R| + (2-m)|x_R-2|}{3|2y_R-x_R-1|}$$

(5-1)式に従つて、各回転中心に対する入を求め、Table 6-1に示す。この表より、真の崩壊荷重係数入は次のようになる。

$$0 \leq m \leq \frac{1}{4} \rightarrow \lambda_C = 1, (x_R, y_R) = (0, \infty)$$

$$\frac{1}{4} \leq m \leq 1 \rightarrow \lambda_C = \frac{10-4m}{9}, (x_R, y_R) = (0, 2)$$

崩壊機構をFig. 6-2に示す。

(2) 例題2

Fig. 6-3に示すような2種類のプレース配置形式を持つ1層1スパン骨組を考える。はりの塑性モーメントはすべてBであり、荷重はX方向水平力のみとする。また、プレースが負担する水平力 Q^β の割合をパラメータ β を表し、次のように定義する。

$$\beta = \frac{Q^\beta h}{8B}$$

骨組(a)では、分担率 β のプレースがX方向の片側構面に、また、分担率 $\beta/2$ のプレースがY方向の両構面に配置されているものとする。重心G、及び耐力中心Uは図中に示されている。

Fig. 6-3に示す各骨組の崩壊荷重係数は、(5-1)式により次式で与えられる。

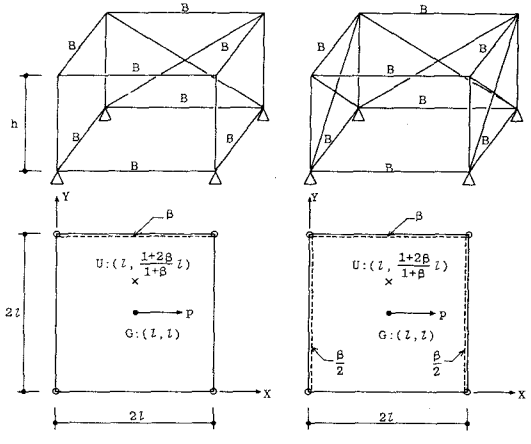


Fig. 6-3 Example 2

$$(a) : \lambda^a = \frac{|y_R| + (1+2\beta)|y_R-2| + |x_R| + |x_R-2|}{2|y_{R-1}|}$$

$$(b) : \lambda^b = \frac{|y_R| + (1+2\beta)|y_R-2| + (1+\beta)|x_R| + (1+\beta)|x_R-2|}{2|y_{R-1}|}$$

ここで、 $x_R = X_R/l$, $y_R = Y_R/l$

結果をTable 6-2に纏めて示す。但し、回転中心の座標として、明らかに検定不要な座標は省略している。この表より、解が次のように得られる。

$$(a) \quad \beta < 1 \quad \lambda_C^a = 1+\beta, (x_R, y_R) = (0, \infty)$$

$$\beta \geq 1 \quad \lambda_C^a = 2, (x_R, y_R) = (0 \sim 2, 2)$$

$$(b) \quad \lambda_C^b = 1+\beta, (x_R, y_R) = (0, \infty)$$

Fig. 6-4に、各骨組の λ_C と β との関係を示す。また、同図中には、柱に塑性ヒンジが形成される場合の解を横尾、山肩の方法[2]に従って求め、点線で示している。但し、軸力とトルクの影響を無視し、2軸曲げに関して円形の降伏関数を用い、柱の塑性モーメントをBとした。從って、節点における降伏関数を、はり降伏型と柱降伏型の骨組について描くとFig. 6-5のように表せる。

骨組(a)では、はり及び柱降伏型骨組共に、 β の如何なる値についてもX方向並進機構を構成し、 β の増加に伴って崩壊荷重は大きくなる。一方、骨組(b)のはり降伏型の場合、 $\beta=1$ では区間($0 \leq x_R \leq 2l$, $y_R=2l$)中の任意点を回転中心とする揺れ機構を構成し、 λ_C は一定値2となる。また、柱降伏型骨組では、偏心ラーメンの存在によって必ず揺れモードを伴う層機構を形成し、 $\beta \geq \frac{1}{2}(1+3/\sqrt{5})$

Table 6-2

x_R	y_R	λ^a	λ^b
-	∞	$1+\beta$	$1+\beta$
0	2	2	$2+\beta$
2	2	2	$2+\beta$

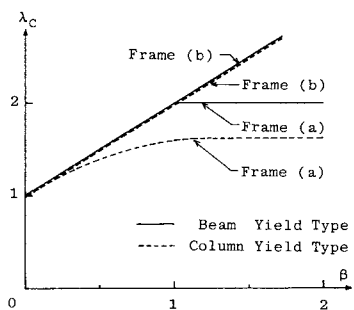


Fig. 6-4 Collapse Load Factor of Example 2

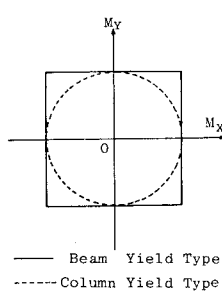


Fig. 6-5

では $(x_R, y_R) = (l, 2l)$ となり、 λ_C は一定値 $(1+\sqrt{5})/2$ となる。

③例題3

耐力中心及び重心の位置が崩壊荷重及び崩壊機構に及ぼす影響を、Fig. 6-6に示す骨組を例にして示す。耐力中心U及び重心Gの位置を表すパラメータをそれぞれm及びgとし、UとGを次のように表す。

・耐力中心：

$$(X_U, Y_U) = (l, (1+m)l)$$

$$0 \leq m < 1$$

・重心：

$$(X_G, Y_G) = (l, (1+g)l)$$

$$-1 \leq g \leq 1$$

荷重をX方向水平力のみとすれば、(5-1)式より、次の解が得られる。

・ $m < g+1$ のとき

$$\lambda_C = 1, (x_R, y_R) = (0, \infty)$$

・ $m \geq g+1$ のとき

$$\lambda_C = \frac{2-m}{1-g}, (x_R, y_R) = (0 \sim 2, 2)$$

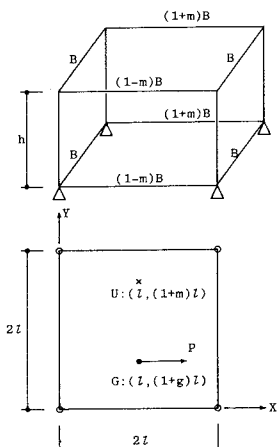


Fig. 6-6 Example 3

m と g に対して λ_C を描くと、Fig. 6-7が得られる。領域[I]はX方向並進機構、領域[II]は揺れ機構が構成される領域を表す。また、同図中の点線は、例題2と同様、柱降伏型の場合の解を与える。柱降伏型では、偏心量が零、即ち $m=g+1$ の場合、必ず揺れを伴う層機構を構成するが、はり降伏型骨組のように、純粹な揺れ機構を構成することはない。Fig. 6-8に、柱降伏型骨組

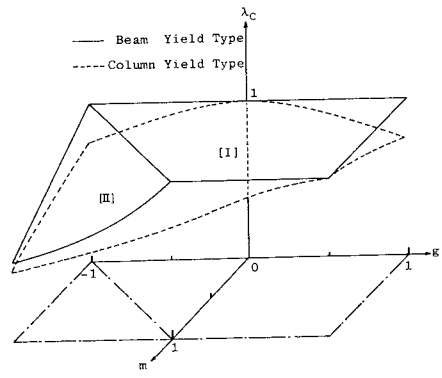


Fig. 6-7 Collapse Load Factor of Example 3

の回転中心の Y 座標 ($y_R = Y_R/l$) と m の関係を示す。

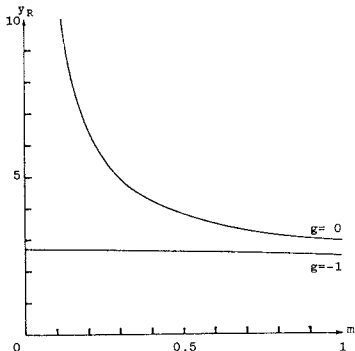


Fig. 6-8 Rotational Centroid of Column Yield Type Space Frame of Example 3

(4) 例題 4

例題 3 と同じ骨組を対象

とし、Fig. 6-9 に示すように、重心を中央に固定し、耐力中心及び水平力の方向が変化する場合について検討する。水平力 P の X 及び Y 方向成分をそれぞれ P_x , P_y とし、

$$\lambda_x = \frac{P_x h}{8B}, \quad \lambda_y = \frac{P_y h}{8B}$$

$$x_R = \frac{X_R}{l}, \quad y_R = \frac{Y_R}{l}$$

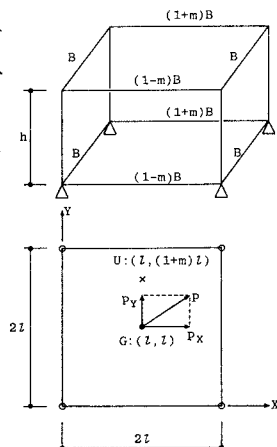


Fig. 6-9 Example 4

$$0 \leq m < 1$$

とおけば、(5-1)式より Table 6-3 に示す解が導かれる。

Table 6-3 を $\lambda_x - \lambda_y - m$ 座標に関して図示すれば、Fig. 6-10 が得られる。

Fig. 6-10 は、Fig. 6-9 に示す骨組の降伏曲面を与え、m 軸は耐力中心に関して作用するトルクに対応する。この降伏曲面は、1 層 1 スパン骨組に対して得られたものであるが、多層骨組に対して全く同形となり、また、多ス

Table 6-3 Yield Function

Region	x_R	y_R	Yield Function	Mechanism
[I]	-	∞	$\lambda_x = \pm 1$	Sway
[II]	∞	-	$\lambda_y = \pm 1$	Sway
[III]	0	2	$\pm \frac{\lambda_x}{2} \pm \frac{\lambda_y}{2} \pm \frac{m}{2} = 1$	Torsion
[IV]	2	2	$\pm \frac{\lambda_x}{2} \mp \frac{\lambda_y}{2} \pm \frac{m}{2} = 1$	Torsion

パン骨組では、Table 6-3 における揉れ構構・領域が分割されて増えるのみであり、Fig. 6-10 と類似の形状となる。

一例として、Fig. 6-11 に示すように、はりの塑性モーメントがすべて $(1-\beta)B$ であり、ブレースの負担層モ-

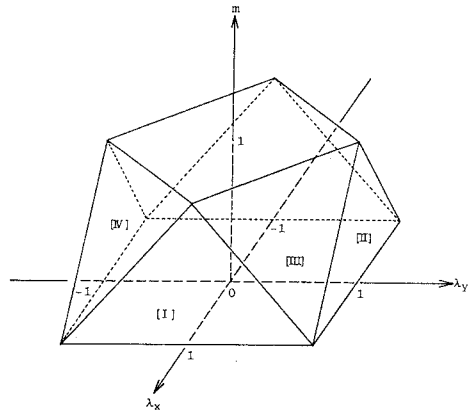


Fig. 6-10 Yield Surface of Example 4

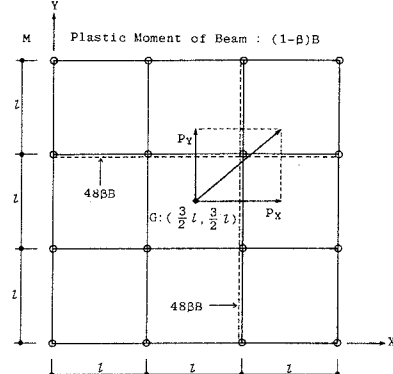


Fig. 6-11 Example 5

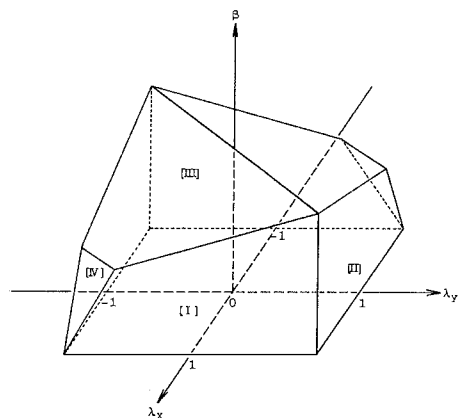


Fig. 6-12 Yield Surface of Example 5

メントが x , y 各方向共 $48B$ の偏心ブレースを有する3スパン骨組の降伏曲面をFig. 6-12に示す。この骨組の耐力中心は、

$$(X_U, Y_U) = \left(\frac{l}{2}(3+\beta), \frac{l}{2}(3+\beta) \right)$$

であり、Fig. 6-12における β 軸は、ブレースの分担率を表すと共に、耐力中心に関して作用するトルクに対応する。また、 λ_x, λ_y を δ を層高としてそれぞれ次式で定義している。

$$\lambda_x = \frac{P_x h}{48B}, \quad \lambda_y = \frac{P_y h}{48B}$$

Fig. 6-12の降伏曲面の各領域に対応する降伏関数を纏めてTable 6-4に示す。

Table 6-4 Yield Function

Region	x_R	y_R	Yield Function	Mechanism
(I)	-	-	$\lambda_x = \pm 1$	Sway
(II)	-	-	$\lambda_y = \pm 1$	Sway
(III)	2	2	$\pm \frac{\lambda_x}{4} + \frac{\lambda_y}{4} + \beta = 1$	Tortion
(IV)	3	3	$\pm \frac{\lambda_x}{2} + \frac{\lambda_y}{2} + \beta = 1$	Tortion

§7. 剛塑性崩壊機構線

真の崩壊機構及びそれに対応する崩壊荷重が求まる剛塑性崩壊機構線（以下、機構線と略記）は、架構の水平移動に伴う鉛直変位に対して鉛直力がなす仕事（重力仕事）を仕事式の外力仕事の項に付加することによって与えられる。

Fig. 6-13は、前節の例題3の骨組の機構線を、横軸に重

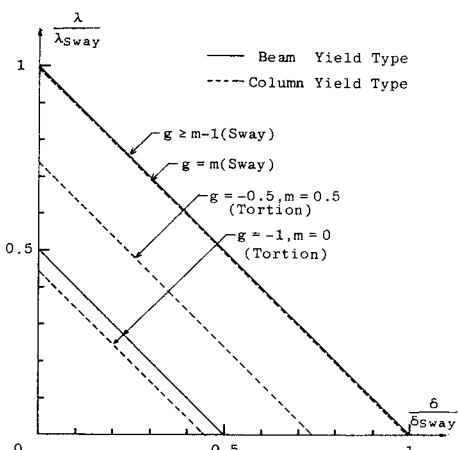


Fig. 6-13 Rigid Plastic Collapse Mechanism Line of Example 3

心の移動方向変位、縦軸に水平力の重心の移動方向成分をとて表したものである。何れの軸も、並進機構に対する値によって無次元化されており、機構線の下の面積は、水平力のなす仕事に対応する。崩壊モードの如何に拘らず機構線の勾配は一定であり、捩れ機構が生じて崩壊荷重が低下すると、骨組が静的倒壊限界に至るまでに水平力のなす仕事はその2乗に比例して著しく減少することになる。

§8. 結論

本論では、一定鉛直荷重と比例水平荷重を受け、はりとブレースのみに塑性ヒンジが生じる立体骨組の真的崩壊機構と崩壊荷重が、上界定理を用いて容易に得られることを示した。このようなはり降伏型立体骨組では、崩壊機構として、並進機構及び何れかの柱脚を回転中心とする純粹な捩れ機構しか存在せず、2方向偏心水平力に対する骨組全体の降伏曲面を容易に描くことができ、これによって、骨組の崩壊荷重や崩壊機構に及ぼす偏心量や荷重方向の影響を明確に把握し得る。

[参考文献]

- [1] J. Heyman: The Limit Design of Space Frame, Journal of Applied Mechanics, June, 1951, pp. 157~162
- [2] 横尾義賀, 山脣邦男: 水平力を受ける立体架構のLimit Analysis, 日本建築学会論文報告集, 第61号, 昭和34年2月, pp. 35~41
- [3] 藤田謙, 為広正起, 吉田宏一郎: 構造物の塑性設計 (その3. ラーメン・ブレース構造の塑性設計), 造船協会論文集, 第144号, 昭和38年11月, pp. 122~131
- [4] 例え K.E. Brunette, S.J. Fenves: A General Formulation of the Elasto-Plastic Analysis of Frameworks, Proc. of Int. Conf. on Space Structures, Univ. of Surrey, 1966, pp. 92~108
- [5] 平野道勝, 緒方秀雄: 複合応力を考慮した骨組の極限解析法, 日本建築学会論文報告集, 第289号, 昭和55年3月, pp. 27~39

THE LIMIT ANALYSIS OF SPACE BUILDING FRAMES

Sadayoshi Igarashi* Kazuo Inoue**
Shoji Hirahara*** Motohide Tada***

This paper is concerned with the limit analysis of space building frames under constant vertical load and eccentrically acting proportional horizontal force. Usually, the plastic collapse load of space frame is complicated to obtain owing to nonlinearity of yield function. So that the collapse load is calculated by numerical elastic-plastic analysis or by linear programing technique using approximate linear yield function.

On the other hand, provided the plastic hinges are formed only in beams and bracings, the problem becomes simpler and easier because of linearity of yield functions. This type of structures (hereafter termed beam yield type space frame) are dealt with in this paper. The plastic collapse mechanism and the corresponding collapse load are derived based on the kinematic theorem on the following assumptions:

- (1) The material is rigid-perfectly plastic
- (2) Floors act as rigid diaphragms in their own planes
- (3) Plastic hinges are formed only in beams and bracings
- (4) Torsional resistance of members is neglected
- (5) Horizontal forces act on the center of gravity at each floor level.

For any assumed collapse mechanism as shown in Fig.3-1, equation (5-1) which gives the corresponding collapse load factor is derived. Based on the kinematic theorem, the actual collapse mechanism is distinguished from among all the possible mechanisms by the fact that it has the lowest corresponding value given by equation (5-1).

Authors proved that all possible mechanisms of beam yield type space frames which shoud be considered are sway mechanisms in X and Y-directions and torsional mechanisms around every column point. So that the number of mechanisms to be considered is (2 + the number of columns) regardless of the number of floor levels.

Some examples are analized according to equation (5-1). The results are indicated in Fig.6-6, 6-7 and 6-8 comparing with the results of column yield type space frames whose columns have the circular yield function for biaxial bending. Furthermore, the examples of interaction yield surface for overall beam yield type space frame are depicted in Fig.6-10 and 6-12. The resulting load factor can be evaluated using this yield surface under the information about the direction of horizontal forces and the eccentricity.

* Proffesor, Department of Architectural Engineering, OSAKA University
** Assistant, ditto
*** Graduate Student, ditto